# 慢病毒介导的大鼠肝 BRL-3A 细胞 Tmub1 基因沉默及稳定感染细胞系的建立\*

王晓枫 <sup>1</sup> 刘孟刚 <sup>2</sup> 刘宏鸣 <sup>2</sup> 周 波 <sup>2</sup> 王宝林 <sup>2</sup> 陈红旭 <sup>2</sup> 陈 平 <sup>2△</sup> (1 武警总医院肝脏移植研究所 北京 100039 2 第三军医大学大坪医院肝胆外科 重庆 400042)

摘要 目的 构建 Tmub1 基因慢病毒干扰载体 建立稳定转染细胞系 检测大鼠肝 BRL-3A 细胞中 Tmub1 基因表达的干扰效果。方法:设计并构建 4 对针对大鼠 Tmub1 基因的特异性 shRNA 干扰质粒,酶切鉴定、DNA 测序所得质粒。将由 pRSV-Rev、pMDLg-pRRE、pMD2G 和 pll3.7 干扰质粒组成的包装系统共转染 293T 细胞,产生慢病毒。所得慢病毒感染大鼠正常肝细胞 BRL-3A,Western Blot 检测不同靶点 RNAi 后 Tmub1 蛋白表达情况,确定有效靶点。针对有效靶点大量包装慢病毒。测定病毒滴度并以最适感染复数(multiplicity of infection,MOI)感染 BRL-3A 细胞后,G418 抗生素筛选稳定感染细胞系 BRL-3A/256。RT-PCR 和 Western Blot 检测各组细胞 Tmub1 mRNA 和蛋白质的表达差异。结果:结果显示 Tmub1 RNAi 慢病毒载体构建成功,C0020 Sh2-Hops-256 干扰靶点 RNAi 效果最强。成功包装 Tmub1 基因 RNAi 慢病毒,测定病毒滴度为 2.3× 10\*TU/ml,对 293T 细胞的最适感染复数为 60。成功建立 Tmub1 RNAi 慢病毒载体稳定感染细胞系 BRL-3A/256,且在该细胞系中 Tmub1 mRNA 和蛋白质表达明显降低。结论 成功构建 Tmub1 RNAi 慢病毒载体,有效干扰 BRL-3A 细胞中 Tmub1 mRNA 和蛋白表达;成功筛选出 Tmub1 RNAi 慢病毒稳定感染细胞系 BRL-3A/256。

关键词:Tmub1;RNA 干扰 慢病毒载体 ;BRL-3A

中图分类号 :R575 文献标识码 :A 文章编号 :1673-6273(2012)16-3019-07

## Lentivirus-mediated Tmub1 Silencing in BRL-3A and Establishment of RNAi Stable Cell Line\*

WANG Xiao-feng<sup>1</sup>, LIU Meng-gang<sup>2</sup>, LIU Hong-ming<sup>2</sup>, ZHOU Bo<sup>2</sup>, WANG Bao-lin<sup>2</sup>, CHEN Hong-xu<sup>2</sup>, CHEN Ping<sup>2</sup> (1 Institute of Liver Transplantation, General Hospital of Armed Police Forces, Beijing, 100039, China;

2 Department of Hepatobiliary Surgery, Daping Hospital, 3rd Military Medical University, Chongqing, 400042, China)

ABSTRACT Objective: To construct a RNA interference (RNAi) lentivirus vector of Tmub1 gene, to establish a stable cell line with Tmub1 gene knockdowned, and to detect the silence effect of Tmub1 gene in rat hepatocyte cell line (BRL-3A) transfected with different RNAi vector. Methods: Four pairs of oligonucleotide sequences of the Tmub1 gene were designed and synthesized, and cloned into the Pll3.7 vector digested by Xho I and Hpa I, and then the vectors were confirmed by PCR and DNA sequencing. 293T cells were cotransfected with pRSV-Rev, pMDLg-pRRE, pMD2G and pll3.7, to produce lentivirus. Carrying Tmub1 shRNA, BRL-3A cells were infected with lentivirus. RNA interference effect on Tmub1 expression in BRL-3A cells was detected with Western-Blot. The strongest interference plasmid was packaged to produce Tmub1 RNAi lentivirus LV256. Determine the virus titer and fittest multiplicity of infection (MOI). After BRL-3A cells was infected, G418 antibiotic as used to screen out the stably infected cells line BRL-3A/256. The Tmub1 mRNA and protein expression in the BRL-3A/256 cells line were detected by RT-PCR and Western Blot. Results: The data demonstrated that the lentivirus RNAi vector of Tmub1 was constructed successfully. And the C0020 Sh2-Hops-256 target showed the best interference effects. The titer of virus was 2.3× 10<sup>8</sup> TU/ml, and the fittest MOI in 293T was 60. Stably infected cells line BRL-3A/256 was successfully established and showed low expression of Tmub1 mRNA and protein. Conclusion: The lentivirus RNAi vector of Tmub1 is constructed successfully, and it had effect on the mRNA and protein expression of Tmub1. The stably transfected cells line BRL-3A/256 is established successfully.

Key words: Tmub1; RNA interference; Lentivirus vector; BRL-3A Chinese Library Classification(CLC): R575 Document code: A Article ID:1673-6273(2012)16-3019-07

前言

肝脏具有巨大的再生潜能,能够通过内源性途径激活自身 肝细胞再生,充分发挥自身肝脏的再生能力,或将为防治肝功

作者简介:王晓枫(1981-),男,硕士,主要研究方向;肝脏再生相关分子机制,干细胞肝脏外科临床应用,

E-mail michaelwong1981@163.com

△通讯作者 陈平 电话 023-68757966 E-mail: chenping10701@hotmail.com

(收稿日期 2011-10-15 接受日期 2011-11-10)

<sup>\*</sup>基金项目 国家自然科学基金面上项目(30972895)

能衰竭开辟一条新途径。但是肝细胞增殖和肝脏再生是一个非 常复杂的过程,涉及大量基因转录、蛋白质合成,并构成复杂的 信号通路网络,关于肝细胞增殖调控的分子机制、肝脏再生启 动的机制以及肝脏再生的影响因素等都没有得到肯定的答案。 研究表明 大鼠 70% 肝切除(partial hepatectomy PH)后最早、最 明显的变化是门静脉系统的改变四,肝血窦内压力增高,门静脉 血液中各种体液因子(如 IL-6、胰岛素、内皮生长因子、肝细胞 生长因子等)浓度增加 低氧的静脉血流相对增加 而动脉血变 化不大,使剩余肝脏处于相对低氧的状态[23]。另外,肝血流的急 剧变化将活化肝窦内皮细胞 (sinusoidal endothelial cell SEC), 促使其分泌大量肝细胞刺激因子。血流应激培养模型培养的肝 窦内皮细胞分泌的上清液也富含 IL-6、肝细胞生长因子(HGF)、 肿瘤坏死因子 alpha(TNF-α)等肝细胞增殖刺激因子 ,刺激肝细 胞增殖<sup>14</sup>。参与调控肝再生的胞内信号通路主要有 G 蛋白偶联 受体信号通路、酪氨酸激酶受体信号通路、补充胞质激酶受体 信号通路、核激素受体信号通路等[5]。2005年 Della Fazia 等通 过对肝切除后肝细胞的 cDNA 文库与对照组肝细胞比较分析, 首次报道 Tmub1(transmemebrane and ubiquitin-like domain containing 1) 基因, 当时命名为 hepatocyte odd protein shuttling (Hops)。Tmub1 蛋白为一种细胞核一细胞浆穿梭蛋白 担负着 复杂而又重要的功能 但其是否在肝脏再生过程中起到传递肝 细胞增殖信号或调控细胞增殖关键点的作用,目前尚无报道。 在本实验研究中,我们运用慢病毒介导的 RNA 干扰(RNA interference RNAi)技术 构建 Tmub1 基因的 shRNA 慢病毒真核 表达载体 LV256,并体外转染 BRL-3A 大鼠正常肝细胞,筛选 稳定感染细胞系 BRL-3A/256。为深入了解 Tmub1 基因和蛋白 在肝细胞增殖和肝再生过程中的作用及分子生物学机制奠定 基础。

### 1 材料与方法

#### 1.1 实验材料

BRL-3A 大鼠正常肝细胞株、293T 细胞株以及 Hela 细胞购自中科院上海细胞所。DMEM 高糖培养基、LB 培养基、胎牛血清、胰酶、Opti-MEM(GIBCO 公司),dNTPS、Taq 聚合酶、Agarose Gel DNA Purification Kit Ver2.0、Total RNA 提取试剂、RT-PCR 反转录试剂盒(TaKaRa 公司),XhoI 和 HpaI 限制性内切酶、XbaI 和 NheI 限制性内切酶(Fermentas 公司),慢病毒包装系统(Tronolab 公司),pll3.7 载体、shDNA 退火缓冲剂、1kb/100bp ladder(Telebio Biomedical 公司),T4 Ligation Buffer(北京中杉金桥公司),T4 DNA 连接酶(NEB 公司),质粒 DNA 提取试剂盒(Axygen 公司),制备感受态试剂盒(BIOSCIENCES公司),凝胶回收试剂盒(Qiagen 公司),Polybrene、G418、Ampicillin(Sigma 公司),rabbit anti-Tmub1 多克隆抗体(Hiroto Hara Ph.D 馈赠),Goat anti rabbit IgG(ABCAM 公司)。

#### 1.2 实验方法

#### 1.2.1 Tmub1 慢病毒载体的构建

1.2.1.1 寡聚核苷酸的设计 针对 Tmub1 基因 (Accession No. AY603378 种属:大鼠)由上海吉玛公司设计并合成 4 对模板链(表 1)。主要设计依据为 :Lentivirus-shRNA 模板中的 loop 结构选用了 TTCAAGAGA 以避免形成终止信号;正义链模板的5'端添加了 T,与 BbsI 酶切后形成的粘端互补;反义链模板的5'端添加了 AGCT ,与 XhoI 酶切后形成的粘端互补。正义链:5'-T-(GN18)-(TTCAAGAGA)-(N18C)-TTTTTTC-3';反义链与正义链互补5'端产生 XhoI 酶切位点3'-A (CN18)-(AAGTTCTCT)-(N18G)-AAAAAAGAGCT-5'。

表 1 Tmub1 RNAi 靶点及相应 shRNA 序列 Table 1 Tmub1 RNAi targets and shRNA sequences

靶点		shRNA 序列
	5'GGTTCGACT-	正义链 5'TGGTTCGACTCATCTACCAAGGTTCAAGAGACCTTGGTAGATGAGTCGAACCTTTTTTC-3'
C0019	CATCTAC-	反义链:
	CAAGG-3'	5'TCGAGAAAAAAGGTTCGACTCATCTACCAAGGTCTCTTGAACCTTGGTAGATGAGTCGAACCA-3'
	5'GGTCTCAA-	正义链 :5'TGGTCTCAACACATACGACTGATTCAAGAGATCAGTCGTATGTGTTGAGACCTTTTTTC-3'
C0020	CACATAC-	反义链 5
	GACTGA-3'	'TCGAGAAAAAAGGTCTCAACACATACGACTGATCTCTTGAATCAGTCGTATGTGTTGAGACCA3'
	5'GCCAT-	正义链 5'TGCCATGACAGCCATTGATAGCTTCAAGAGAGCTATCAATGGCTGTCATGGCTTTTTTC-3'
C0021	GACAGC-	反义链:
C0021	CATTGATAGC-	た X 社種・ 5'TCGAGAAAAAAGCCATGACAGCCATTGATAGCTCTCTTGAAGCTATCAATGGCTGTCATGGCA-3'
	3'	
	5'GCTACG-	正义链 :5'TGCTACGGTTGAAATTTCTCAATTCAAGAGATTGAGAAATTTCAACCGTAGCTTTTTTC-3'
C0022	GTTGAAATTTC	反义链:
	TCAA-3'	5'TCGAGAAAAAAGCTACGGTTGAAATTTCTCAATCTCTTGAATTGAGAAATTTCAACCGTAGCA-3'

  $\mu$ g/ml Ampicillin 的 LB 培养基中。使用碱裂解法抽提质粒,用 Xba I 和 Nhe I 分别对四个重组载体(C0019、C0020、C0021、C0022)进行双酶切鉴定、DNA 测序。

1.2.1.3 慢病毒载体的包装与纯化 将各载体(pRSV-Rev  $10~\mu g$ , pMDLg-pRRE  $15~\mu g$ , pMD2G  $7.5~\mu g$ , pll3.7 干扰质粒  $20~\mu g$ )加

入无菌水定容至 1.8 ml  $\[ |$   $\[ |$   $\[ | ]$  加入  $\[ | ]$  2× BBS 缓冲盐溶液  $\[ | ]$  2.0 ml  $\[ | ]$  定温放置  $\[ | ]$  20 min  $\[ | ]$  当细胞密度达  $\[ | ]$  60 % $\[ | ]$  70 %时,将配制好的病毒包装系统溶液转移至含  $\[ | ]$  293T 细胞的培养液中混匀  $\[ | ]$  37  $\[ | ]$  5 %  $\[ | ]$  CO2 细胞培养箱中培养。  $\[ | ]$  12 h 后弃去培养液 加入 PBS 15 ml  $\[ | ]$  3  $\[ | ]$  2  $\[ | ]$  2 加入含  $\[ | ]$  10 % FBS 的细胞培养液  $\[ | ]$  15 ml  $\[ | ]$  37  $\[ | ]$  5 %  $\[ | ]$  CO2 继续培养  $\[ | ]$  48 h。 收集293T 细胞上清液  $\[ | ]$  4  $\[ | ]$   $\[ | ]$  4000rpm 离心  $\[ | ]$  10 min  $\[ | ]$  收集上清液。将各种不同 RNA 干扰质粒上清液以  $\[ | ]$  0.45  $\[ | ]$  加滤器过滤,分装后-70  $\[ | ]$  C  $\[ | ]$  次 简保存。

#### 1.2.2 有效干扰序列的筛选

1.2.2.1 在 BRL-3A 细胞上筛选有效干扰序列 将 BRL-3A 细胞接种到六孔细胞培养板中 37 °C、5% CO<sub>2</sub> 培养箱培养 24 h;细胞密度为 60 % $\sim$ 70 %时,更换新鲜的含 2 % FBS 的 DMEM 高糖培养基,加入阴性对照病毒(Negative),重组慢病毒载体C0019、C0020、C0021、C0022 病毒上清液各 1 ml;培养 24 h 后更换新鲜含 10%FBS 的 DMEM 高糖培养液 37 °C、5% CO<sub>2</sub> 继续培养 72 h。收取细胞,并提取各组细胞蛋白进行 Western Blot检测。

1.2.2.2 Western Blot 检测不同干扰靶点慢病毒载体对 BRL-3A 细胞 Tmub1 蛋白表达的干扰 重组慢病毒感染 BRL-3A 细胞 96 h 后提取细胞蛋白。弃去旧培养基,预冷的 PBS 清洗细胞 3 次, 各加入冷的 RIPA 裂解缓冲液 150 μl, 收集细胞至 1.5 ml EP 管中 超声 离心 , 留取上清。 取出小量细胞裂解液测其蛋白 浓度 加入上样 Buffer 95 ℃变性 5 min 放 -20 ℃冰箱保存。聚 丙烯酰胺凝胶(10 %分离胶、4 %积层胶)电泳 90V 电压下电泳 30 min ,125V 继续电泳 ,至溴酚蓝跑至分离胶的底部 ,停止电 泳。125 mA 电流转膜 1 h 至 PVDF 膜。TBST 液中短暂漂洗 2 min,放入含5%脱脂奶粉TBST室温下封闭1h;TBST洗膜 10min× 3 次。将 PVDF 膜置于一抗溶液中(浓度 1:1000) A ℃ 过夜 ;TBST 洗膜 15 min× 3 次。将膜置于二抗溶液中(浓度 1: 5000) 孵育 1 h ;TBST 洗膜 15 min× 3 次。取等量 ECL A 液和 B液(0.125 ml/cm2)混合 将膜置于溶液中温育 2 min ,使其充分 浸润并沥干膜;于暗房中曝光、显影、过水、定影 X 光片晾干。 凝胶成像系统获取蛋白条带图像 Quantity 软件进行信号分 析 以 GAPDH 蛋白的灰度值进行校正。

1.2.3 重组慢病毒的大量包装与纯化 将四质粒包装系统 (pRSV-Rev 10 μg pMDLg-pRRE 15 μg pMD2G 7.5 μg C0020 干扰质粒 20 μg) 加入无菌水定容至 1.8 ml , 再加入  $CaCl_2(2.5 \text{ mol/L})$ 溶液 200 μl 混匀 加入 2× BBS 缓冲盐溶液 2 ml ,室温 放置 20~30 min。当 293T 细胞密度达 60 %~70 %时将配制好的病毒包装系统溶液转移至含 293T 细胞的培养液中混匀 37 °C、5 %  $CO_2$  培养 12 h 后弃去培养液 ,加入 PBS 15 ml ,清洗 3 次;加入含 10 %FBS 的细胞培养液 15 ml ,37 °C、5 %  $CO_2$  继续培养 48 h ,收集转染 72h 的 293T 细胞上清液 ,将 V000 中, V10 min , V20 中, V20 中, V30 中, V

1.2.4 慢病毒载体滴度测定 用 DMEM 培养基重悬对数生长期 Hela 细胞 接种 2× 10<sup>4</sup> 细胞 / 孔 待细胞贴壁。于 5 个 EP 管中

分别加入  $300~\mu l$  无血清 DMEM 培养基 取  $1\mu l$  浓缩病毒原液至第 1 管 混匀后再从第 1 管取  $30~\mu l$  至第 2 管 依次类推直至最后一管,各组加入的病毒原液相当于  $1~\mu l$ 、 $0.1~\mu l$ 、 $0.001~\mu l$ 、 $0.0001~\mu l$ 。以稀释好的慢病毒感染 Hela 细胞,并在每组加入  $8\mu g/m l$  Polybrene。 感染 24~h 后换含 10~% FBS 的DMEM 培养基;感染 72~h 再次换液;感染后 96~h 行 FACS 检测细胞 GFP(绿色荧光蛋白,Green Fluorescent Protein)阳性率,滴度计算公式为  $10.0000~\mu l$  (原始细胞数×  $10.0000~\mu l$ ) 病毒原液量。

1.2.5 稳定感染细胞系的筛选 用含有 10 %FBS 的 DMEM 高糖培养基重悬 BRL-3A 细胞至  $5 \times 10^5$  个 /ml , 在 96 孔板中每孔加入 100  $\mu l$  重悬细胞 ,于 37 ℃、5 %  $CO_2$  培养箱内培养。次日解冻慢病毒液 ,更换新鲜含 2 %FBS 的 DMEM 培养基 ,加入病毒液 15  $\mu l$  轻轻混匀。所得 MOI 值为病毒滴度(Tu/ml)× 病毒液体积 / 感染细胞数。加入浓度为 8  $\mu g/ml$  的 Polybrene , 37 ℃ 5 %  $CO_2$  培养箱 6 h 后换含 10 %FBS 的完全培养基 72 小时后,将细胞传代铺板。感染后 96 小时,加入 100  $\mu g/ml$  G418 进行杀伤实验,每隔  $3 \sim 4$  天更换新鲜的含 G418 的培养基 ,第 11 天鉴定到抗性克隆 ,挑选 5 个表达水平最高的克隆,继续培养获得稳定感染细胞系 ,命名为 "BRL-3A/256"。

1.2.6 BRL-3A/256 细胞系中 Tmub1 mRNA 及蛋白检测 1.2.6.1 RT-PCR 检测 BRL-3A/256 细胞中 Tmub1 mRNA 的表达 将 BRL-3A 大鼠正常肝细胞系 (Control)、稳定感染细胞系 BRL-3A/256(LV256)和阴性对照病毒感染组(Negative)分别接种于 6 孔板 37 ℃、5 % CO₂ 培养箱内培养 96 h 后 加入 Trizol试剂 1.0 ml 裂解细胞,提取总 RNA DNase I 消化混入的基因组 DNA 最后进行苯酚 / 氯仿抽提、乙醇沉淀等纯化总 RNA。紫外分光光度计检测所得 RNA 质量。

根据 Tmub1 基因序列设计 RT-PCR 反应引物,正向引物链 5'-TCTGTCGGAGAAACTTAGGA-3'、反向引物链: 5'-TCTGGAGGTGTTGATGCTG-3'。β-actin 引物证向引物链: 5'-GTGGGTATGGGTCAGAAGGA-3'、反义引物链 5'-AGCGCGTAACCCTCATAGAT-3' 扩增片段长为380 bp。逆转录反应根据 TaKaRa 公司 PrimeScript RT Reagent Kit 说明书所述条件步骤进行。PCR 反应条件95℃2 min 95℃30 s 62℃30 s 72℃30 s (25 个循环)2.5 %琼脂糖电泳检测PCR产物。

1.2.6.2 Western Blot 检测 BRL-3A/256 细胞中 Tmubl 蛋白的表达 将 BRL-3A 大鼠正常肝细胞系(Control)、稳定感染细胞系 BRL-3A/256(LV256)和阴性对照病毒感染组(Negative)分别接种于 6 孔板 37 ℃、5 % CO₂ 培养箱内培养 96 h 后,弃去原培养基,预冷 PBS 清洗 2 次 加入 RIRP 裂解液提取细胞总蛋白,检测蛋白浓度。加入上样 Buffer 95 ℃变性 5 min。聚丙烯酰胺凝胶电泳(10 %分离胶、4 %积层胶),125 mA 恒流电流转膜 1 h至 PVDF 膜,在 TBST 液中短暂漂洗  $1\sim2$  min 5 %脱脂奶粉 TBST 封闭,室温下摇 45 min~1h。用 TBST 洗膜 10 min× 3 次。将 PVDF 膜置于一抗溶液中(一抗浓度 1:1000) 4 ℃过夜。用 TBST 洗膜 15 min× 3 次。将膜置于二抗溶液中(浓度 1:5000),摇床上孵育 1 h。 TBST 洗膜 15 min× 3 次。加 ECL 化学发光剂 1 ml 暗房中曝光、显影、过水、定影,凝胶成像系统获取蛋白条带图像 Quantity 软件进行信号分析,以  $\alpha$ -actin 蛋白的

灰度值进行校正。

#### 1.3 统计学分析

各分组所得计量数据采用均数± 标准差  $(\bar{x}$ ± s) 表示 ,用 SPSS10.0 软件处理数据 ,两组间均数比较用 t 检验。检验水准  $\alpha$ =0.05 , P<0.05 有统计学意义。

#### 2 结果

#### 2.1 质粒 DNA 鉴定结果

Tmubl 基因特异性 Lentivirus-shDNA 寡核苷酸序列模板 经退火形成双链 DNA 与经 Xho I、Hpa I 双酶切线性化的 pll3. 7 载体进行连接反应后,使用碱裂解法抽提质粒后,所得质粒用 Xba I 和 Nhe I 分别对四个重组载体(C0019、C0020、C0021、C0022)进行双酶切鉴定(图 1),所有质粒在 1000 bp 大小的均为阳性重组载体,将每组克隆进行测序鉴定。测序结果证实,Tmubl shRNA 寡核苷酸链序列插入正确,表明 Tmubl shRNA慢病毒载体构建成功。各个干扰靶点对应 shRNA 质粒 C0019 Sh1-Hops-586 GGTTCGACTCATCTACCAAGG C0020 Sh2-Hops-256 GGTCTCAACACATA CGACTGA C0021 Sh3-Hops-335 GCCATGACAGCCATTGATAGC C0022 Sh4-Hops-481 GCTACGGTTGAAAATTTCTC。

#### 2.2 在 BRL-3A 细胞中针对 Tmubl 基因筛选有效的干扰序列

用 pRSV-Rev pMDLg-pRRE pMD2G 和干扰质粒组成的包装系统进行慢病毒包装。再用包装好的 Tmub1 慢病毒载体感染 BRL-3A 细胞 ,培养 72 h后 ,收取细胞 ,并提取细胞蛋白做 Western Blot 检测(图 2)。结果显示 C0020 Sh2-Hops-256 干扰效果最佳。将含有此质粒的 Tmub1 RNAi 慢病毒载体命名为LV256 并进行大量包装 ,用于后续实验研究。

#### 2.3 慢病毒载体滴度测定结果

用倍比稀释法稀释病毒液并感染 Hela 细胞 96 h 后 FACS 检测细胞 GFP 阳性率。并用所得数据按以下滴度计算公式计算所得慢病毒滴度 (原始细胞数× GFP%)/ 病毒原液量。原始细胞数 2×  $10^4$  个 / 孔,即获得 :(2×  $10^4$ × 11.82 %) TU/0.01  $\mu$ l=2.3×  $10^5$  TU/ $\mu$ l=2.3×  $10^8$  TU/ml。

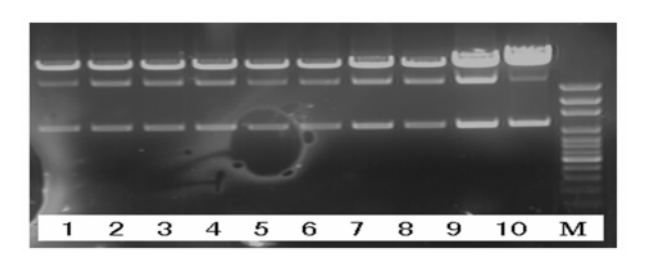


图 1 重组载体的酶切鉴定 M :lamda/Eco1301 ;1、2 为 C0019 酶切结果 , 3、4 为 C0020 酶切结果 5、6 为 C0021 酶切结果 ,7、8 为 C0022 酶切结果 ,9、10 为阳性对照

Fig.1 Restriction enzyme digestion of recombinant plasmid.

M: lamda/Eco130I; 1, 2: C0019; 3, 4: C0020; 5, 6: C0021; 7, 8: C0022; 9,

10: Positive control

#### 2.4 最适感染复数 MOI 值的测定

倒置荧光显微镜观察病毒对目的细胞的感染效率和细胞的生长状态(图 3)。最适感染复数(MOI)为 60 时,在 293T 细胞

中慢病毒 LV256 可有较高感染效率 ,且细胞生长状态良好。但鉴于目的细胞 BRL-3A 大鼠正常肝细胞与 293T 细胞相比通常较难被感染 ,故提高 MOI 值为 70 的 LV256 感染 BRL-3A 细胞可达较佳的感染效率 ,且细胞生长状态良好。并在此基础上用G418 抗生素筛选稳定转染细胞系 BRL-3A/256。

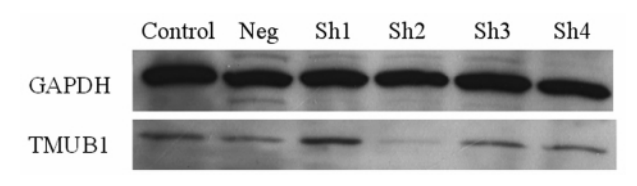


图 2 Western Bolt 检测结果显示感染重组慢病毒 C0020 Sh2-Hops-256 后 Tmub1 蛋白表达明显下调

Fig. 2 Western Blot result: Tmub1 expression significantly down-regulated after transfected with C0020 Sh2-Hops-256

#### 2.5 Tmubl RNAi 慢病毒稳定感染细胞系的筛选和建立

以 MOI 为 70 的病毒液感染 BRL-3A 细胞 , 培养 72 h 后 , 将细胞传代铺板 ,当细胞密度为  $50\,\%\sim60\,\%$ 时 ,加入  $100\,\mu g/ml$  G418 进行杀伤实验。每隔  $3\sim4$  天更换新鲜的含 G418 的培养基 ,第 11 天鉴定到抗性克隆。挑选至少 5 个表达水平最高的克隆 继续培养获得稳定感染的 BRL-3A/256 细胞系(图4)。

2.6 稳定感染细胞系 BRL-3A/256 中 Tmub1mRNA 及蛋白表 达检测

RT-PCR 验证 Tmub1 RNAi 慢病毒稳定感染细胞系BRL-3A/256中 Tmub1 基因的 mRNA 表达情况。结果表明,该细胞系 Tmub1 mRNA 表达较 Control 组与 Negative 组相比明显降低, Control 组与 Negative 组间 Tmub1 mRNA 表达无明显差异(图 5)。

Western Blot 验证 Tmub1 RNAi 慢病毒稳定感染细胞系BRL-3A/256 中 Tmub1 蛋白的 mRNA 表达情况。结果表明,该细胞系 Tmub1 蛋白表达较 Control 组与 Negative 组相比明显降低,Control 组与 Negative 组间 Tmub1 蛋白表达无明显差异(图 6)。

#### 3 讨论

肝脏再生的发生发展机制极为复杂,肝切除后肝细胞内近500 个基因在此时期有明显的变化,其中 Tmub1 基因表达在手术后6、24 h 均明显上调。Della Fazia 等的研究结果显示:1、肝细胞的 Tmub1 mRNA 在 PH 术后明显增加,而正常肝细胞却检测不到 2、Tmub1 蛋白质合成在 PH 术后早期即开始逐渐增加,到术后48 小时达到高峰,此后又缓慢下降;3、正常情况下Tmub1 蛋白的亚细胞定位于细胞核中,胞浆中很少,PH 术后30 分钟开始向胞浆中转运 术后8 小时基本转运至胞浆中,术后12 小时又开始向细胞核中转运,到了术后48 小时基本上全在核内,而术后72 小时又开始缓慢的向胞浆中转运,并不加助1 蛋白为一种细胞核一细胞浆穿梭蛋白:其氨基酸结构中含有细胞核输出信号区域(nuclear export singal region、NES),Tmub1通过 CRM-1 从核输出至胞浆中,此过程可以被 CRM-1 特异性抑制剂来谱霉素 B(lyptomycin B,LMB)阻断;、过表达 Tmub1可阻断大鼠 H-35 肝癌细胞增殖,而且,应用相应逆转录病毒载

体对 Tmub1 RNAi 后引起的 NIH-3T3 细胞增殖也可由于 Tmub1 的过表达而发生增殖抑制<sup>(6)</sup>。研究还发现 HOPS/Tmub1 与 eEF-1A(延长因子 1-A)结合从而干扰蛋白质的合成。现在认识到 Tmub1 基因 ,位于大鼠 4 号染色体 4q11 位置 ,基因全长 1381bp ,蛋白质全长 245 个氨基酸 ,其中包含一个类似泛素结构的区域(ubiquitin-like domain ;102-175aa) ,一个脯氨酸富集区域(proline rich region ;176-183aa) ,3 个亮氨酸富集的 alpha 螺旋结构 (Leucine rich alpha—helixes ;13-32 ,190-212 ,197-209aa)。然而其在肝细胞增殖和肝脏再生过程中的确切作用还不清楚。以往研究表明 ,肝部分切除术(partial hepatectomy ,PH)诱导肝

再生的过程中 IL-6 是重要的因素之一 $^{[7]}$ 。Cressman 等 $^{[8]}$ 发现,IL-6 基因缺失小鼠 PH 术后肝细胞 DNA 合成明显受抑制,G1期异常,包括 STAT3 的激活被抑制,AP1、Myc 及 cyclinDl 的表达亦呈抑制状态,这也就是说由于 IL-6 基因的缺失,肝细胞的增殖受到抑制,而对于术前给予 IL-6 的小鼠来说,上述改变可以得到纠正。另有研究发现 TNF- $\alpha$  受体 I(TNFRI)基因剔除的小鼠 PH 术后的肝细胞增殖抑制现象也可以通过注射 IL-6 得到恢复 $^{[9]}$ 。缺失 IL-6 基因的小鼠肝细胞 DNA 合成受阻 $^{[10]}$ 。因此,可以认为 IL-6 促进肝细胞增殖,而且它与  $TNF-\alpha$  一样是启动肝再生的早期信号转导机制中不可缺少的组成部分。

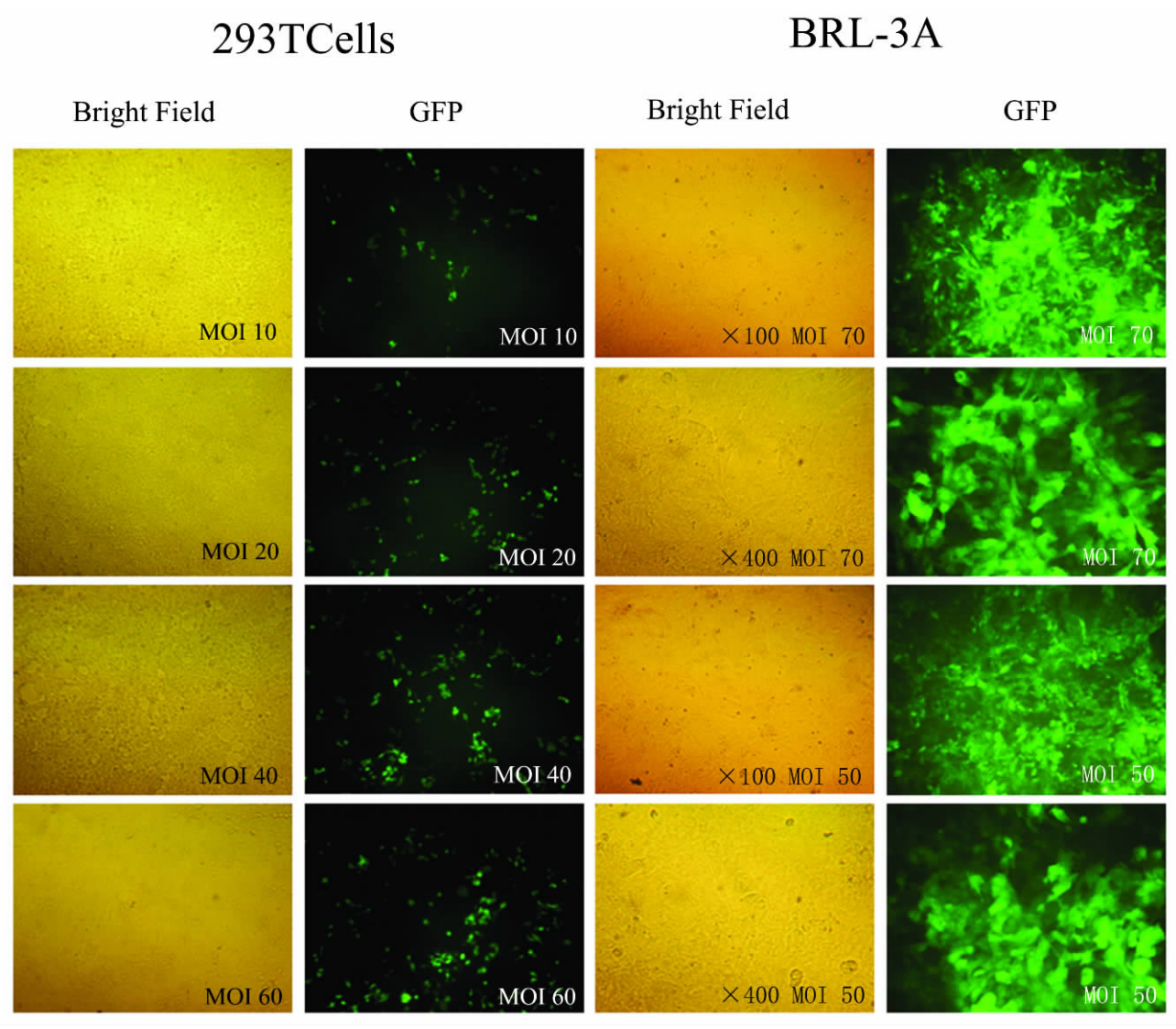


图 3 最适感染复数(MOI)的测定

Fig. 3 Efficiency of GFP expression in 293T and BRL-3A cells after infection with different MOI

PH 术后 肝细胞或组织大量缺失 刺激肝脏库弗氏细胞迅速释放 TNF- $\alpha$  及其他细胞因子,引起氧自由基 (ROS) 产生,NF- $\kappa$ B 激活 发生核转移 活化下游基因 JL-6 表达增加。IL-6与其受体 IL-6R 结合 触发 gp130 形成同源二聚体并激活 JAK [11]。随后 gp130 被 JAK 磷酸化 进而使 STAT3 发生磷酸化 活化的 STAT3 和其他的转录因子(C/EBP $\beta$ 、AP-1) 协同增强 c-myc,

c-fos 等与细胞增殖相关因子的表达,并协同 HGF、EGF 等生长因子共同促进肝细胞的有丝分裂和增殖  $^{[12,13]}$ 。因此可以认为,PH 术后 NF- $\kappa$ B  $\rightarrow$ IL- $6\rightarrow$ STAT3 信号通路被激活,最终启动了肝脏的再生 $^{[14]}$ 。NF- $\kappa$ B 是这条传导通路上一个关键环节  $^{[12,6]}$ 分泌及 STAT3 活化和 c-myc 的表达均依赖于 NF- $\kappa$ B 的活化 $^{[15]}$ 。有学者用分别剔除 IL-6 和 C/EBP $\beta$ /NF-IL-6 基因的小鼠进行试

验 结果发现 2 种小鼠在肝大部切除术后均表现出肝脏再生障 碍[16]。将 IL-6 进行皮下注射可促进大鼠的肝细胞增殖 .血及肝 组织中 HGF 含量干注射 IL-6 1 天后明显增高,这说明 IL-6 的 促肝细胞增殖作用与由 IL-6 引发的 HGF 增高密切相关[17]。然 而也有证据表明 JL-6 可以不依赖于 HGF、TGF、EGF 而直接促 进肝再生,从而调控肝细胞的生长[18]。IL-6 作为一种典型的多 效性细胞因子可以调节多种诸如细胞增殖和分化等生理事件, 调控多种特殊基因的表达,尤其是肝细胞中急性期蛋白(acute phase proteins APP)的表达[19]。有研究表明 给裸鼠注射 IL-6 后 在没有肝脏损伤的情况下会导致肝脏肿大以及肝细胞增生。这 表明 IL-6 在肝脏中作为一个完整的促细胞分裂原,而不是在 肝脏再生的启动阶段作为启动效应的介质。转录因子 STAT3 通过细胞因子 IL-6 来激活后迅速诱导即刻早期基因表达[20]。活 化的 STAT3 一般在 PH 后  $1\sim2h$  内即可出现,并且可以持续 4~6h[21]。STAT3 活化后进入核内,调节与炎症、细胞增殖、急性 期反应等有关的基因表达[22]。有学者认为 PH 后即刻早期基因 迅速地被激活 表达上调 且其高表达水平会持续增加到开始 合成 DNA[23]。Niehof 等[24]研究发现 在 IL-6 的诱导下磷酸化的 STAT3 (tyrosine-phosphorylated STAT3) 在核中的表达在给药 30min 后可明显升高 且在 4h 内可维持高表达状态 ,而在给药 12h 后则检测不到其表达。

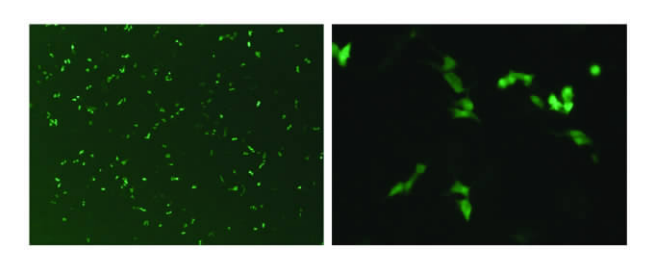


图 4 Tmub1 RNAi 慢病毒稳定感染细胞系 BRL-3A/256 细胞系 Fig. 4 BRL-3A/256 stable cell line of Tmub1 RNAi mediated by lentivirus

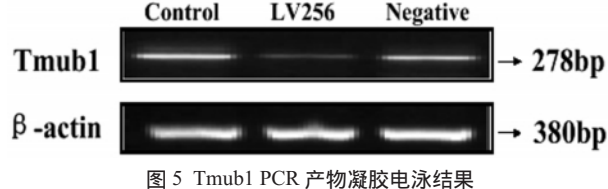


Fig. 5 Result of Tmub1 mRNA expression

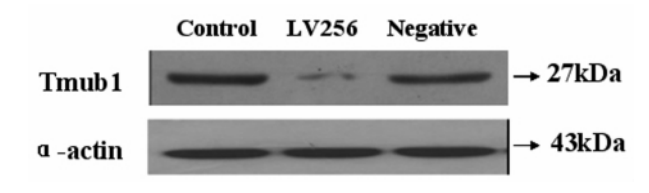


图 6 Tmub1 蛋白质 Western Blot 检测结果 Fig. 6 Result of Tmub1 protein expression

基于上述研究 ,我们推测 PH 术后 ,NF-κB→IL-6→STAT3 信号传导通路被激活 ,从而促进肝细胞增殖及肝脏再生的同时 ,为了防止细胞过度增殖 ,IL-6 的大量表达也可使 Tmub1 表达增强 ,从而抑制肝细胞增殖和肝再生过程中的某些重要因

子,而对肝细胞增殖和肝再生过程起到调控作用。本研究旨在利用 RNAi 技术,使大鼠肝正常肝细胞 BRL-3A 中 Tmub1 基因表达沉默,以深入地了解及求证探讨 Tmub1 与 IL-6/STAT3 信号传导通路之间的关联,以及它在 IL-6 诱导的肝细胞增殖和肝再生过程中的作用。

慢病毒载体介导的 RNAi 技术感染细胞的范围较广 "能够 高效感染肝细胞等稳定细胞 且 RNAi 稳定性强、作用持久。 更 为重要的是它能够将遗传物质整合到宿主的基因组 因此更有 利于稳定感染细胞系的建立和在活体动物实验中的应用。本研 究中, 我们首先设计、筛选了 4 对针对大鼠 Tmub1 基因的 RNAi 靶序列,并以 U6 为启动子,分别构建 4 种表达 Tmub1 shRNA 的质粒。再用 pRSV-Rev、pMDLg-pRRE 和 pMD2G 质 粒组成的辅助包装原件载体质粒与慢病毒干扰质粒一起进行 慢病毒的小量包装。shRNA 质粒能表达绿色荧光蛋白(GFP), pRSV-Rev pMDLg-pRRE pMD2G 含有病毒包装所必须的元 件。分别用不同 Tmub1 shRNA 质粒生产的慢病毒感染目的细 胞 BRL-3A, 结果显示含有 C0020 的慢病毒载体对 Tmub1 基 因表达的特异性抑制效率最高,提示序列 Sh2-Hops-256 GGTCTCAACACATACGACTGA 为 Tmub1 基因的有效靶序 列。而后,我们用C0020大量包装生产了表达Tmub1shRNA 的慢病毒载体,至此Tmub1RNAi慢病毒载体LV256构建成 功。该载体能表达由 CMV 启动子驱动的 GFP ,可用于病毒包 装时转染效率及感染宿主细胞效率的检测。其次 我们用倍比 稀释法和 FACS 技术检测细胞 GFP 阳性率,计算出获得重组 慢病毒的滴度为 2.3× 108 TU/ml。随后 在倒置荧光显微镜下观 察不同 MOI 的病毒对 293T 细胞和 BRL-3A 细胞的感染效率 和细胞的生长状态。当 MOI 为 60 时,在 293T 细胞中慢病毒 LV256 可有较高感染效率 且细胞生长状态良好。但鉴于肝细 胞与 293T 细胞相比通常较难被感染 ,故提高 MOI 值为 70 ,用 于感染 BRL-3A 细胞,即在感染 5× 10<sup>4</sup> 个细胞时使用 15μl 滴 度为 2.3× 108 TU/ml 病毒液。结果显示 重组慢病毒有效感染 BRL-3A 细胞 ,且细胞生长状态良好。在此基础上我们用 G418 抗生素对感染了 Tmub1 RNAi 慢病毒载体的大鼠肝 BRL-3A 细胞进行达 12 天的杀伤实验,筛选出了 Tmub1 RNAi 慢病毒 稳定感染细胞系 BRL-3A/256。用 RT-PCR 与 Western Blot 方 法检测稳定感染细胞系 BRL-3A/256 中 Tmub1 mRNA 和蛋白 质的表达水平。结果显示 BRL-3A/256 细胞系 (LV256 组)中 Tmub1 mRNA 和蛋白质表达水平均比仅添加等量生理盐水的 BRL-3A 细胞 (Control 组) 显著降低;而由于 Negative 组的 BRL-3A 细胞只感染了包含 pll3.7 空载体 ,未对 Tmub1 表达进 行干预,因此其 Tmub1 表达水平与 Control 组相近。这表明 BRL-3A/256 稳定感染细胞系筛选成功 ,此细胞中 Tmub1 表达 被有效抑制。综合实验数据证实 ,Tmub1 RNAi 慢病毒表达载 体构建成功,干扰片断在稳定感染细胞系 BRL-3A/256 中稳定 表达,为进一步研究 Tmubl 基因及蛋白产物对大鼠肝细胞系 BRL-3A 生物学行为的影响 探讨 Tmubl 在肝细胞增殖和肝再 生中相关信号传导通路中的作用,寻找肝功能衰竭的新疗法奠 定了基础。

#### 参考文献(References)

[1] Morine Y, et al. Effects of preactivation by portal vein ligation on liver

- regeneration following massive hepatectomy in rats [J]. Hepatogastroenterology, 2007, 54(76):1216-1221
- [2] Khan Z, Michalopoulos G K, Stolz D B. Peroxisomal localization of hypoxia-inducible factors and hypoxia-inducible factor regulatory hydroxylases in primary rat hepatocytes exposed to hypoxia-reoxygenation[J]. Am J Pathol, 2006,169(4): 1251-1269
- [3] Fausto N, Campbell J S, Riehle K J. Liver regeneration[J]. Hepatology, 2006,43(Suppl 1): 45-53
- [4] Ping C, et al. Hepatic sinusoidal endothelial cells promote hepatocyte proliferation early after partial hepatectomy in rats[J]. Arch Med Res, 2006, 37(5): 576-583
- [5] 刘现忠,李相成,仲跻巍. 肝脏再生信号机制研究进展[J]. 中华肝脏病杂志, 2007,15(2):158-160
  Liu Xian-zhong, Li Xiang-cheng, Zhong Ji-wei. The signal mechanisms in liver regeneration [J]. Chinese Journal of Hepatology, 2007, 15(2):158-160
- [6] Della Fazia, et al. HOPS: a novel cAMP-dependent shuttling protein involved in protein synthesis regulation[J]. J Cell Sci, 2005, 118(14): 3185-3194
- [7] Salazar Montes A, et al. Chemically induced liver regeneration is characterized by specific IL-6 gene expression [J]. Hepato Res, 1999, 15: 10-21
- [8] Cressman DE, et al. Liver failure and defective hepatocyte regeneration in interleukin-6-deficient mice [J]. Science, 1996, 274 (5291): 1379-1383
- [9] Galun E, et al. The role of cytokines in liver failure and regeneration: potential new molecular therapies [J]. Biochim Biophys Acta, 2002,1592(3): 345-358
- [10] Streetz KL, Luedde T, Manns MP. Interleukin 6 and liver regeneration[J]. Gut,2000,47:309-312
- [11] Hirano T, Kishimoto T. Molecular biology and immunology of inter-leukin-6[J]. Res Immunol,1992,143(7):723-724
- [12] Luk JM, Wang PP, Lee CK, et al. Hepatic potential of bone marrow stromal cells: development of invitro co-culture and intra-portal transplantation models[J]. J Immunol Methods, 2005, 305(1):39-47
- [13] Bardelli A, Saha S, Sager JA, et al. PRL-3 expression in metastatic cancers[J]. Clin Cancer Res, 2003, 9(15): 5607-5615

- [14] Gehling UM, Willems M, et al. Partial hepatectomy induces mobilization of a unique population of haematopoietic progenitor cells in human healthy liver donors[J]. J Hepatol, 2005, 43(5): 845-853
- [15] Liu F, Pan XB, Chen GD, et al. Hemato poietic stem cell mobilizat after rat partial orthotopic liver transplantation [J]. Transplant Pro, 2006, 38(7):1603-1609
- [16] Lu C, Li Y, Zhao Y, et al. Intracrine hepatopoietin potentiates AP-1 activity through independent of MAPK pathway [J]. FASEB J, 2002,16(1): 90-92
- [17] Khan AZ, Mudan SS. Liver regeneration: mechanisms, mysteries and more[J]. ANZ J Surg, 2007, 77(1-2): 9-14
- [18] Zimmers TA, et al. Massive liver growth in mice induced by systemic interleukin 6 administration [J]. Hepatology, 2003, 38 (2): 326-334
- [19] Thiele DL, et al. Tumor necrosis factor, the acute phase response and the pathogenesis of alcoholic liver disease[J]. Hepatology, 1989, 9(3): 497-499
- [20] Rakemann T, Niehof M, Kubicka S, et al. The designer cytokine hyperinterleukin-6 is a potent activator of STAT3-dependent gene transcription in vivo and in vitro [J]. J Biol Chem, 1999, 274 (3): 1257-1266
- [21] Cantz T, Zuckerman D, Burdam. Quantitative gene expression analysis reveals transition of fetal liver progenitor cells to mature hepatocytes after transplantation in uPA/ RAG22 mice [J]. Am J Pathol, 2003, 162(1): 37-45
- [22] Leu JI, Crissey MA, Leu JP, et al. Interleukin-6-induced STAT3 and AP-1 amplify hepatocyte nuclear factor 1-mediatedtransactivation of hepatic genes, an adaptive response liver injury [J]. Mol Cell Biol, 2001, 21(2): 414-424
- [23] Hovew, van Hoek B, Bajema I, et al. Extensive chimerism in liver transplants: vascular endothelium, bile ductepithelium, and hepatocytes[J]. Liver Transplantation, 2003, 9: 552-556
- [24] Monika Niehof, Konrad Streetz, Tim Rakemann, et al. Inter-leukin-6-induced Tethering of STAT3 to the LAP/C/EBPβ Promoter Suggests a New Mechanism of Transcriptional Regulation by STAT3 [J]. J Biol Chem, 2001, 276: 9016-9027